

Ge/Si(100) 界面互扩散的喇曼光谱*

蒋伟荣 周星飞 施斌 胡冬枝 刘晓晗 蒋最敏 张翔九

(复旦大学应用表面物理国家重点实验室, 上海 200433)

摘要: 利用喇曼光谱研究了不同温度下在 Si(100) 衬底上异质外延 Ge 层由于扩散引起的 Ge/Si 异质结界面互混以及表面活化剂 Sb 对其的影响。结果表明表面活化剂 Sb 的存在大大抑制了界面的互扩散, 在 650°C 下也没有观察到明显的界面互混。没有 Sb 时, 在 500°C 下已存在一定程度的界面互混, 界面互混程度随外延层生长温度的增高而增强。这种互扩散的差别与成岛生长时应变释放有关。

关键词: Ge/Si 互扩散; 分子束外延; 喇曼光谱; 表面活化剂

PACC: 6822; 6855; 3220F

中图分类号: O482.3 **文献标识码:** A **文章编号:** 0253-4177(2000)07-0662-05

Interdiffusion of Si and Ge Atoms During Epitaxy Growth of Ge Layer on Si (100) Studied by Raman Spectroscopy*

JIANG Wei-rong, ZHOU Xing-fei, SHI Bin, HU Dong-zhi,
LIU Xiao-han, JIANG Zui-min and ZHANG Xiang-jiu

(Surface Physics State Key Laboratory, Fudan University, Shanghai 200433, China)

Received 30 May 1999, revised manuscript received 17 July 1999

Abstract: Interdiffusion of Si and Ge atoms and the surfactant's influence during epitaxy growth of Ge layer on Si (100) at different temperatures are studied by Raman spectroscopy. The results show that Sb as a surfactant can greatly suppress the interdiffusion at Ge/Si interface. With surfactant Sb, no significant atomic intermixing can be observed even at the growth temperature of 650°C, whereas without Sb, the intermixing due to the interdiffusion occurred at temperature of 500°C, interface intermixing increases with the growth temperature of the Ge epilayer. Such difference is believed to be related to the

* 国家自然科学基金(69776010)项目、863 计划新材料领域资助项目[Project Supported by National Natural Science Foundation of China (Grant No. 69776010) and by National High-Technology (863) Research and Development Program of China]

JIANG Wei-rong (蒋伟荣) male, born in 1975, graduate student. His major research interest is in MBE growth of GeSi material and GeSi devices.

1999-05-30 收到, 1999-07-17 定稿

strain relaxation process during Ge epilayer growth.

Key words: Ge/Si interdiffusion; MBE; Raman spectroscopy; surfactant

PACC: 6822; 6855; 3220F

Article ID: 0253-4177(2000)07-0662-05

1 引言

$\text{Si}_{1-x}\text{Ge}_x/\text{Si}$ 异质结材料在器件方面具有广阔的应用前景^[1],从而Ge/Si异质结和超晶格的分子束外延生长方面的研究得到了广泛而深入的开展^[2-4].某些器件的品质往往与Ge/Si异质结界面的结构、性质有关,其中包括界面的陡峭程度^[5].弄清楚界面互混以及它对温度的依赖关系对材料生长有重要的指导意义.不少研究组曾利用俄歇电子谱(AES)、喇曼散射^[2,3]、中能离子散射(MEIS)^[3]、二次离子质谱(SIMS)^[4]等方法对Ge/Si超晶格界面互混进行过研究.Zalm^[4]和Iyer^[3]较早地对Ge/Si超晶格界面互混进行了研究.Zalm利用二次离子质谱研究了Ge/Si异质结界面由Ge的偏析引起的界面互混以及Ga的影响,结果表明在生长温度为300℃时已存在Ge的偏析,Ga能较有效地抑制Ge的偏析.Iyer利用喇曼光谱研究了Ge/Si超晶格界面互混对生长温度的依赖关系,结果表明界面互混程度随外延层生长温度的增高而增强.迄今为止,一般将产生Ge/Si界面互混的原因归结于MBE生长过程中Ge的偏析和互扩散,较少见到将互扩散进行单独研究以及它对生长温度依赖关系的报道.

本文利用喇曼光谱研究了不同温度下在Si(100)衬底上异质外延Ge层时由于扩散引起的界面互混,这种情况下不存在由于Ge偏析所引起的互混.同时还研究了表面活化剂Sb对Si/Ge界面互混的影响^[6],用原子力显微镜观察了样品表面的形貌.

2 实验条件

样品生长在一台型号为Riber EVA-32超高真空Si分子束外延生长系统中完成,衬底为电阻率1—5Ω·cm的N型Si(100)片,采用Shiraki的清洗方法清洗.一共生长了六块样品,所有样品均先在600℃下生长20nm厚的Si缓冲层.样品A、B、C分别在500℃、550℃、650℃生长温度下异质外延20nm厚的Ge层,样品D、E、F在生长20nm厚的Ge层前预先淀积1ML的Sb原子,Ge层生长温度分别与样品A、B、C相同.Ge的生长速率为0.05nm/s.喇曼光谱测量是在Jobin Yvon U1000型号的喇曼谱仪上完成的,采用背散射实验配置,在这种配置下,只有纵光学声子LO对散射信号有贡献,采用氩离子激光器的488.0nm线激发,激光功率为200mW,分辨率优于0.5cm⁻¹.样品表面形貌的观察在NT-MDT公司的Solver P47-SPM-MDT型号的原子力显微镜上完成,采用的是半接触模式.

3 实验结果与讨论

对于有表面活化剂参与生长的样品,Ge层生长结束后表面的反射高能电子衍射(RHEED)图样为清晰的2×1再构图样,表明样品表面仍相当平整.无表面活化剂Sb参与生长的样品,Ge层生长后反射高能电子衍射图样均有箭头出现,表明存在岛状结构.图1为用原子力显微镜所观察到的样品表面形貌图.如图1所示,在没有表面活化剂Sb的情况下,样品表面均已成岛,岛的尺寸随着外延Ge层生长温度的提高而增大.在有表面活化剂Sb的情况下,样品表面平整,表面活化剂Sb有效抑制了外延Ge层的成岛.

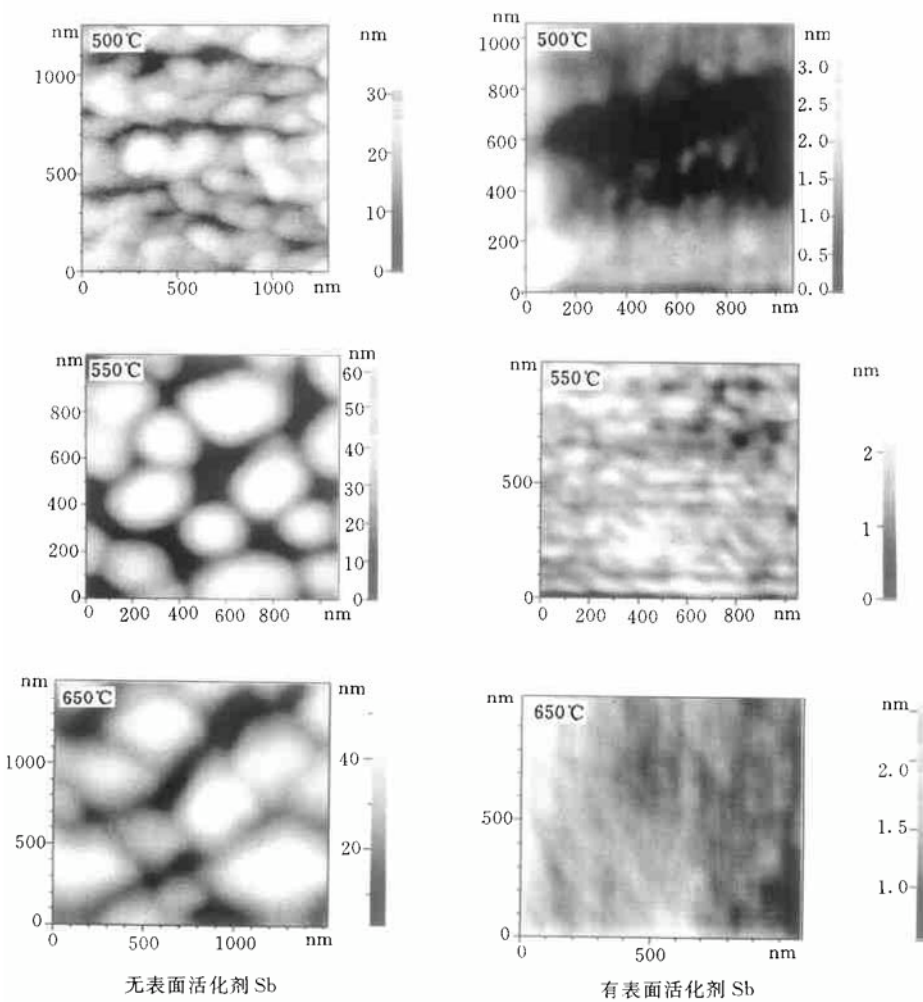


图 1 样品的 AFM 表面形貌照片

FIG. 1 AFM Surface Topography of Sample

图 2 为 6 块样品的喇曼光谱. 其左边对应于无表面活化剂 Sb 的情况, 生长温度分别为 500、550、650°C, 右边对应于有表面活化剂 Sb 的情况. 位于 300cm^{-1} 左右的为 Ge-Ge 振动峰, 位于 400cm^{-1} 左右的为 Ge-Si 振动峰, 位于 470cm^{-1} 左右的峰为 Si-Si 振动峰, 所有峰位的确定均以衬底 Si-Si 峰位 (520cm^{-1}) 为参考点. 从图 2 可以看出, 在无表面活化剂 Sb 参与的情况下, 三个样品的喇曼谱中都可观察到 Ge-Si 峰, 表明都存在界面互混. 在有表面活化剂 Sb 参与的情况下, 在 650°C 生长温度下也没观察到 Ge-Si 峰. 考虑到激光波长的穿透深度约为 20nm, 我们用双氧水腐蚀掉部分 Ge 层以突出界面区域信号后也观察不到 Ge-Si 峰或 Si-Si 峰信号, 这进一步说明 Ge/Si 异质界面陡峭, 表面活化剂 Sb 的存在大大抑制了界面的互扩散.

Brya、Renucci 等人研究 GeSi 合金喇曼光谱, 得出了 GeSi 合金的光学声子喇曼谱的峰位和合金组分、应变的关系^[7,8]. 由 Ge-Ge 峰、Ge-Si 峰或 Si-Si 峰的峰位可以得出 GeSi 合金层中 Si 或 Ge 的组分. 由于扩散, 在外延 Ge 层中 Ge 组分可能不均匀, 在 Ge/Si 界面附近 Ge 的组分应比远离界面的区域中 Ge 组分小. 喇曼谱中的信号是由各个不同 Ge 组分的区域的信号叠加而成. Ge 组分小的区域其 Ge-Ge 模信号强度小, 而 Ge-Si 模信号强度大, Ge 组分大的区域的 Ge-Ge 模信号强度大, Ge-Si 模信号强度小. 因此, Ge-Ge 峰信

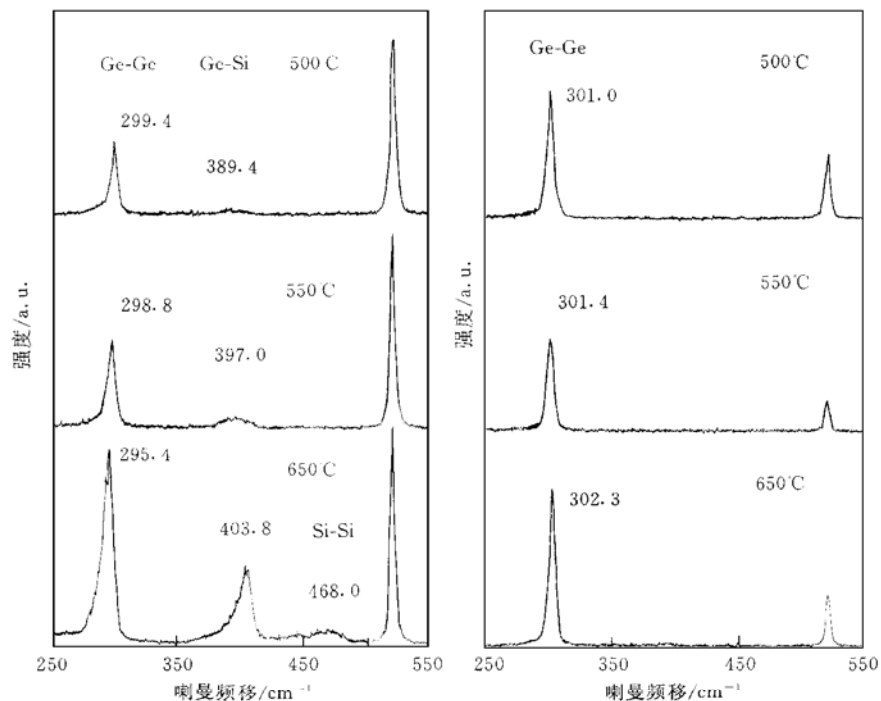


图2 不同温度下异质外延Ge层的喇曼光谱

FIG. 2 Raman Spectra of Heteroepitaxy Ge Layer at Different Temperature

号主要由高Ge组分区域的贡献,因而由此峰位定出的Ge组分更接近于高Ge组分区的GeSi合金组分,而Ge-Si峰的信号主要来自Ge组分低的区域的贡献,由Ge-Si峰位定出的Ge组分应更接近于界面附近区域的Ge组分。在没有表面活化剂参与情况下,生长温度为500℃的Ge膜中已能观察到Ge-Si峰,表明已有一定程度的界面互混,但由其Ge-Ge峰位—300cm⁻¹可知Ge膜接近纯Ge膜,随着生长温度提高,Ge-Ge峰位出现了明显的红移,Ge-Si峰强度的进一步增加,以及Si-Si峰的出现,均表明Si/Ge界面互混程度随着温度的提高而增强。在生长温度为650℃时,出现了较强的Si-Si峰和Ge-Si峰,由Ge-Ge峰位得出Ge的组分约为0.8,由Ge-Si峰位得出Ge的组分约为0.6。由此可见,界面互扩散引起了在整个Ge膜中都存在相当比例的Si原子,并且Ge层中的Si原子成分也不均匀,靠近Ge/Si界面的Si原子成分约为0.4,而远离界面接近Ge层表面的Si原子成分约为0.2。

以上喇曼光谱表明,有表面活化剂Sb参与生长和没有表面活化剂Sb参与生长时界面互扩散情况相差很大。我们认为这一差别与外延Ge层的生长模式和应变释放过程有关。一方面,无活化剂Sb时,外延生长为S-K生长模式,当外延Ge层成岛时或岛状生长时在Si衬底中将引入应变^[12,13]。Si衬底中应变的存在可能降低外延层Ge原子向Si衬底中扩散的势垒,使得外延层Ge原子向Si衬底扩散,引起界面原子互混^[14]。另一方面,无活化剂Sb时,外延层的岛状结构使得衬底的Si原子沿着岛的表面扩散变得容易,进一步引起界面原子互混。表面活化剂Sb的存在抑制了外延Ge层的成岛,也即抑制了界面原子互混。

4 结论

表面活化剂Sb的存在大大抑制了界面的互扩散。有表面活化剂Sb时,在650℃生长温度下也没有观察到明显的界面互混,无表面活化剂Sb时,在500℃下已存在一定的界面互混,Ge/Si异质界面互混程度

随样品生长温度的升高而增强。

参 考 文 献

- [1] 刘学锋, 王玉田, 刘金平, 等, 半导体学报, 1999, **20**(4): 287[LIU Xuefeng, WANG Yutian, LIU Jinping *et al.*, Chinese Journal of Semiconductors, 1999, **20**(4): 287 (in Chinese)].
- [2] K. Dettmer, W. Freiman, M. Levy *et al.*, Appl. Phys. Lett., 1995, **66**: 2376.
- [3] S. S. Iyer, J. C. Tsang, M. W. Copel *et al.*, Appl. Phys. Lett., 1989, **54**: 219.
- [4] P. C. Zalm, G. F. A. van de Walle, D. J. Gravestijn *et al.*, Appl. Phys. Lett., 1989, **55**: 2520.
- [5] 朱育清, 杨沁清, 王启明, 等, 半导体学报, 1997, **18**(3): 237[ZHU Yuqing, YANG Qinqing, WANG Qiming *et al.*, Chinese Journal of Semiconductors, 1997, **18**(3): 237 (in English)].
- [6] H. J. Osten, J. Klatt, G. Lippert *et al.*, J. Appl. Phys., 1993, **74**: 2507.
- [7] W. J. Brya, Solid State Commun., 1973, **12**: 253.
- [8] M. A. Renucci and J. B. Renucci, Light Scattering in Solids, Flammarion, Paris, 1971, p326.
- [9] Masaya Ichimura, Akira Usami, Akihiro Wakahara *et al.*, J. Appl. Phys., 1995, **77**: 5144.
- [10] B. Dietrich, E. Bugiel, J. Klatt *et al.*, J. Appl. Phys., 1993, **74**: 3177.
- [11] F. Lu, C. H. Perry, F. Namavar *et al.*, Appl. Phys. Lett., 1993, **63**: 1243.
- [12] E. Kim, N. Usami and Y. Shiraki, Extended Abstracts of 1996 International Conference on Solid State Devices and Materials, Yokohama, 1996, p425.
- [13] D. J. Eaglesman, M. Cerullo, Phys. Rev. Lett., 1990, **65**: 1934.
- [14] Z. M. Jiang, A. M. Xu, D. Z. Hu *et al.*, Thin Solid Film, 1998, **321**: 116.